

大阪市立大学 正員 小林 治俊

大阪市立大学 正員 園田 恵一郎

1 まえがき 筆者¹⁾は先に弾性基礎上のミンドリン板の一般解を固有関数から成る2重級数で与え、板厚/スパン比の変化に伴う、たゆみ、曲げモーメントの特性について言及した。本文は、まず同種の問題の解式をLevy型の単能数によって求める方法を示す。次いで、境界近傍でのねじりモーメント、せん断力の分布形状を各種境界条件に対し求めることにより、薄板理論の結果との相違について述べるものである。

2 基礎方程式 Fig.1に示す座標系に対する変位成分による基礎式、断面力は

$$\begin{aligned} & (D/2)[(1-v)\nabla^2\psi_x + (1+v)\phi_{,x}] + \kappa Gh(w_{,x} - \psi_x) = 0 \\ & (D/2)[(1-v)\nabla^2\psi_y + (1+v)\phi_{,y}] + \kappa Gh(w_{,y} - \psi_y) = 0 \\ & \kappa Gh(\nabla^2w - \phi) + q - kw = 0 \end{aligned} \quad (1)$$

$$\begin{aligned} M_x &= -D(\psi_{x,x} + v\psi_{y,y}) ; M_y = -D(\psi_{y,y} + v\psi_{x,x}) ; M_{xy} = -\frac{1-v}{2}D(\psi_{x,y} + \psi_{y,x}) \\ Q_x &= \kappa Gh(w_{,x} - \psi_x) ; Q_y = \kappa Gh(w_{,y} - \psi_y) \end{aligned} \quad (2)$$

ここで、 w =たゆみ； ψ_x, ψ_y =回転角； D =曲げ剛性； G, v =せん断剛性、ボアソン比； h =板厚； κ =せん断修正係数($=5/6$)； q =荷重； k =基礎係数； M_x, M_y, M_{xy} =曲げ、ねじりモーメント； Q_x, Q_y =せん断力； $\phi = \psi_{x,x} + \psi_{y,y}$ ； $\nabla^2 = \text{Laplacian}$ ； $(),_x = \partial(\)/\partial x$, $(),_y = \partial(\)/\partial y$.

w, ψ_x, ψ_y が連成した(1)式は、Marguerre²⁾の手法により、次の非連成の3式となる。

$$D\nabla^2\nabla^2w + \frac{D}{\kappa Gh}\nabla^2(q-kw) = q-kw ; \phi = \nabla^2w + \frac{q-kw}{\kappa Gh} ; \nabla^2\theta - \frac{2}{1-v}\frac{\kappa Gh}{D}\theta = 0 \quad (3)$$

ただし、 $\theta = \psi_{x,x} - \psi_{y,y}$ 。 ψ_x, ψ_y は w 中、 θ と次の関係で結ばれていく。

$$\psi_x = w_{,x} + (D/\kappa Gh)[\phi_{,x} - (1-v)\theta_{,y}/2] ; \psi_y = w_{,y} + (D/\kappa Gh)[\phi_{,y} + (1-v)\theta_{,x}/2] \quad (4)$$

次に境界条件は、境界面上の法・接線方向を定めたとすれば、

$$\begin{array}{ll} (1) \text{ 単純支持 [S]} : w = \psi_t = M_n = 0 & (2) \text{ 単純支持 [S']} : w = M_n = M_{nt} = 0 \\ (3) \text{ 固定 [C]} : w = \psi_n = \psi_t = 0 & (4) \text{ 自由 [F]} : M_n = M_{nt} = Q_n = 0 \end{array} \quad (5)$$

3 解式 Fig.1に示すように、 $x=0, a$ で単純支持[S]され、他は任意の境界とする。

(a) 同次解 仮定した境界条件を満足する解は、

$$w_h = \sum_m w_m(y) \sin \mu_m x ; \phi_h = \sum_m \phi_m(y) \sin \mu_m x ; \theta = \sum_m \theta_m(y) \cos \mu_m x ; \mu_m = m\pi/a \quad (6)$$

(6-1)式を(3-1)式に代入して得られる $W_m(y)$ に関する微分方程式の解は、パラメータ $S = (kD)^{1/2}/2(Gh)$ に対し

$$\begin{aligned} S < 1 : W_m(y) &= A_1 \cosh \alpha y \cos \beta y + A_2 \sinh \alpha y \cos \beta y + A_3 \cosh \alpha y \sin \beta y + A_4 \sinh \alpha y \sin \beta y \\ S = 1 : W_m(y) &= B_1 \cosh \gamma y + B_2 \sinh \gamma y + B_3 \gamma y \cosh \gamma y + B_4 \gamma y \sinh \gamma y \\ S > 1 : W_m(y) &= C_1 \cosh \delta y + C_2 \sinh \delta y + C_3 \cosh \varepsilon y + C_4 \sinh \varepsilon y \end{aligned} \quad (7)$$

$$(\alpha, \beta) = [(1+2S(\mu_m L)^2 + (\mu_m L)^4)]^{1/2} \pm [S + (\mu_m L)^2]^{1/2} / \sqrt{2}L ; \gamma = [1 + (\mu_m L)^2]^{1/2} / L ;$$

$$(\delta, \varepsilon) = [S + (\mu_m L)^2 \pm (S^2 - 1)^{1/2}]^{1/2} / L ; L = (D/k)^{1/2} ; A_i, B_i, C_i = \text{積分定数}.$$

従って、 $W_m(y)$ 以下、(6-1)(7)式を(3-2)式に代入するところにより、 $S \leq 1$ は容易に求められる。

次に、(6-3)式を(3-3)式に代入して $\theta_m(y)$ を求めれば、

$$\theta_m(y) = D_1 \cosh ny + D_2 \sinh ny ; n = \{\mu_m^2 + [2kGh/(1-v)D]\}^{1/2} ; D_i = \text{積分定数}. \quad (8)$$

(b) 特解 今、荷重 $q(x)$ のみの解を表わされるものとすれば、荷重と特解は次式で与えられる。

$$q(x) = \sum_m q_m \sin \mu_m x ; q_m = \int_0^a q(x) \sin \mu_m x dx ; w_p = \sum_m w_m \sin \mu_m x ; \phi_p = \sum_m \phi_m \sin \mu_m x \quad (9)$$

(9)式を(3-1), (3-2)式に代入すれば、係数 w_m, ϕ_m を決定出来る。さらに、(7)(8)式の積分定数は、

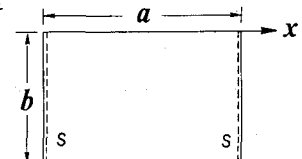


Fig.1 Coordinate System

$y=0, b$ における境界条件より決定される。

- 4 数値計算例 $a/b = 1/6$, $a/L = 3$, $K = 5\%$ とし, 全面等分布載荷の場合の結果を Figs. 2-10 に示す。
 5 参考文献 (1) 小林, 園田: 土木学会論文報告集, No. 341 (2) Marguerre 他: 弹性平板 (培風館)

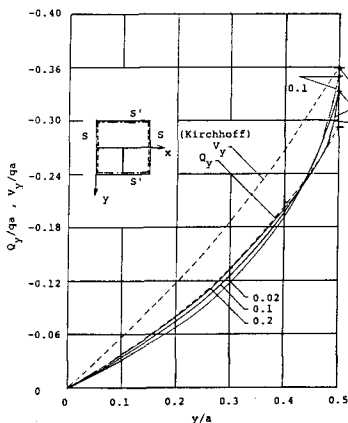


Fig. 2 Variations of Q_y and V_y along $x=a/2$

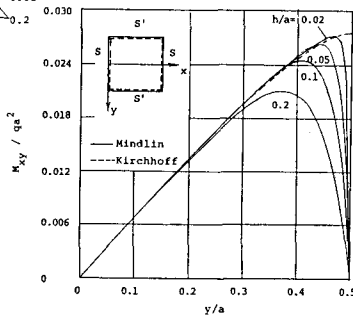


Fig. 3 Variations of M_{xy} along $x=0$

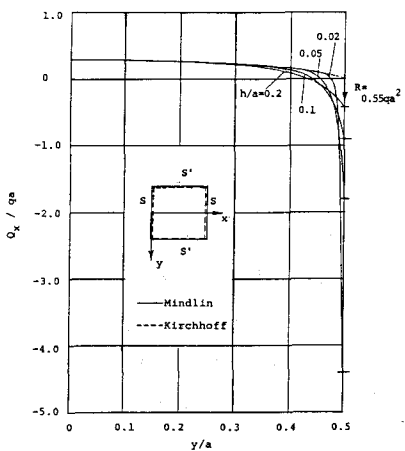


Fig. 4 Variations of Q_x along $x=0$

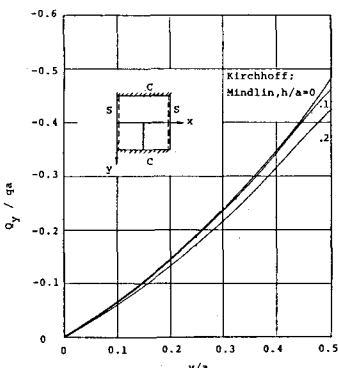


Fig. 5 Variations of Q_y along $x=a/2$

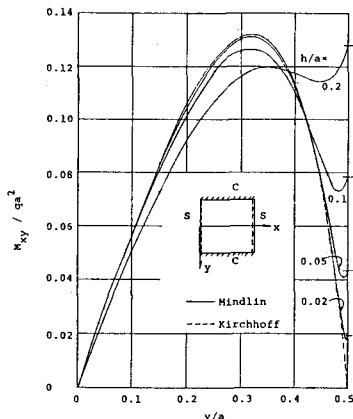


Fig. 6 Variations of M_{xy} along $x=0$

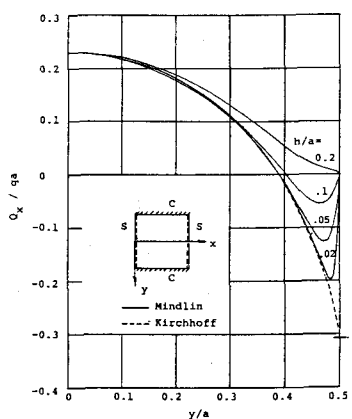


Fig. 7 Variations of Q_x along $x=0$

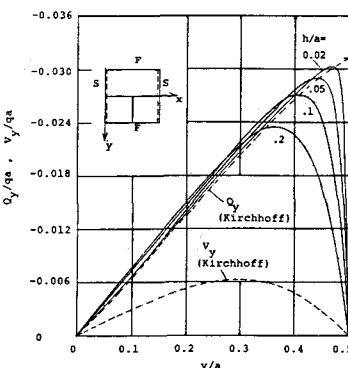


Fig. 8 Variations of Q_y and V_y along $x=a/2$

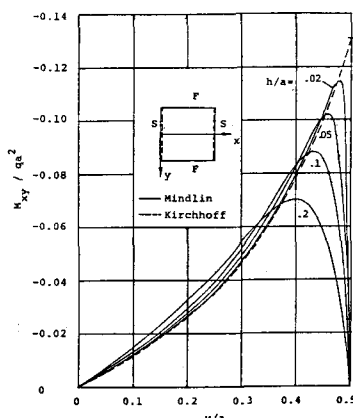


Fig. 9 Variations of M_{xy} along $x=0$

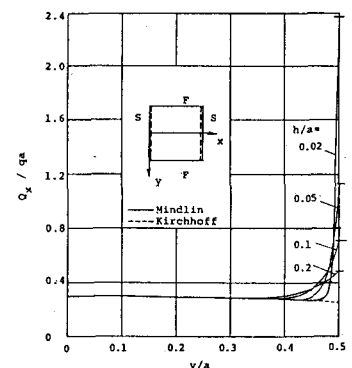


Fig. 10 Variations of Q_x along $x=0$